

خنثی سازی اثر سنگ‌نیتیک داده‌های ژئوشیمیایی رسوبات آبراهه‌ای در منطقه شمال تکاب با استفاده از خوشه بندی فازی

سعید سلطانی محمدیⁱ، دکتر فیروز علی نیاⁱⁱ، دانیال کاویانیⁱⁱⁱ

چکیده

در اکتشافات ژئوشیمیایی به روش رسوبات آبراهه‌ای، روش‌های متعددی برای خنثی سازی اثر لیتولوژی ارائه شده است که عبارتند از: روش جداسازی جوامع سنگی، تحلیل مولفه‌های اصلی و خوشه بندی فازی. در این مقاله اثر مؤلفه سنگ‌نیتیک در داده‌های حاصل از تجزیه و تحلیل نمونه‌های رسوبات آبراهه‌ای منطقه شمال تکاب با استفاده از روش خوشه بندی فازی خنثی و نتایج حاصل با نتایج حاصل از روش جداسازی جوامع سنگی مقایسه شده است. نتایج مؤید این مطلب است که در نتایج حاصل از خوشه بندی فازی، آنومالی‌های جدیدی نشان داده شده است که در روش جداسازی سنگ بالا دست نشان داده نشده است و از طرف دیگر، یک سری از آنومالی‌های دروغین: که از روش جداسازی سنگ بالا دست حاصل شده بودند، محبو شدند. به منظور تسهیل استفاده از این روش، اقدام به طراحی و نهایتاً اعتبارسنجی یک مجموعه فرم افزاری گردید که کلیه مراحل مربوط به پردازش داده‌ها را به صورت مرحله‌ای انجام دهد.

کلمات کلیدی

خنثی سازی اثر سنگ بالا دست، خوشه بندی فازی، اکتشافات ژئوشیمیایی، روش رسوبات آبراهه‌ای

Removing The Effect Of The Syngenetic Component From Geochemical Stream Sediment Data Using Fuzzy C-Means Clustering Method: A Case Study From North Of Takab

Saeid Soltani Mohammadi, Firouz Alinia, Danial Kaviani

ABSTRACT

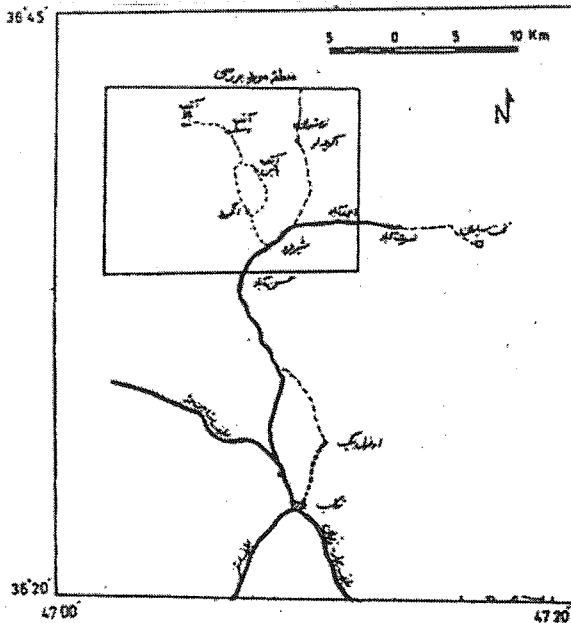
Geochemical exploration, using the stream sediment method, involves two components which control the concentration of elements in the samples: syngenetic and epigenetic. The epigenetic component is the useful component for exploration. However, usually as the syngenetic component is stronger, it dwarfs the effect of epigenetic component. There are several methods that are used to eliminate the effect of syngenetic component on geochemical data; for example, separation of upstream rock groups, principal component analysis (PCA) and fuzzy c-means clustering method (FCM). The effect of the syngenetic component, from stream sediment samples obtained from North of Takab, was removed, using the fuzzy clustering method. Then results from this method were compared to results obtained from the separation of upstream rock groups method. Based on this comparison, FCM distinguished new anomalies and removed weak and virtual anomalies in some place. Furthermore, the software that was created for this purpose was explained.

i دانشجوی دکترای مهندسی اکتشاف معدن، دانشگاه صنعتی امیرکبیر (پلی تکنیک تهران)

ii استادیار دانشکده مهندسی معدن، متابولوژی و نفت، دانشگاه صنعتی امیرکبیر

iii دانشجوی رکتری مهندسی نفت، دانشگاه Texas-A&M

قرار گرفتن در محل برخورد زون‌های ساختمانی سنتدج-سیرجان، البرز- آذربایجان و ایران مرکزی جزو مناطق مهم معدنی ایران به شمار می‌آید [۲].



شکل(۱): کروکی و راههای قابل دسترسی معدن

عمده‌ترین رخمنونهای سنگی منطقه عبارت از گدازه‌های مافیک- الترامافیک دگرگون شده در بخش شمال شرقی، میکاشیست‌های نواحی غربی و واحدی شامل شیل، کوراتزیت و توف در نواحی غربی هستند که همگی به دوران پرکامبرین مربوط می‌باشند.

ماسه‌سنگ‌های قرمز هم ارز سازند لالون؛ که در بخش‌های شمالی و غربی منطقه رخمنون داشته و سن کامبرین دارند. تناوبی از مارن، ماسه‌سنگ و کنگلومرا؛ که احتمالاً هم ارز بخش‌های پایینی سازند قم هستند، همراه با واحد سنگ آهک ریفی آقدره و نیز تناوبی از مارن و ماسه‌سنگ قرمز رنگ؛ که در بخش‌های مرکزی و شرقی منطقه رخمنون وسیعی داشته و می‌توان آن را هم‌ارز رسوبات سازند قرمز بالایی در نظر گرفت. همگی رسوبات به دوران ترشیری مربوط می‌باشند.

فعالیت‌های آتش‌نشانی دوران ترشیری موجب رسوب یک سری گدازه‌های پورفیری با ترکیب آندریتی در بخش‌های شمال شرقی و نیز یک سری گدازه‌های داسیتی و توف‌های ریولیتی در قسمت‌های مرکزی شده است.

مقدار زمینه عناصر مختلف، در سنگ‌های گوناگون متفاوت است. بنابراین حد آنومالی در این سنگ‌ها و در رسوبات آبراهه‌ای نشأت گرفته از آنها نیز متفاوت است. به طور مثال، عنصر کروم در سنگ‌های اولترابازیک مقدار زمینه‌ای برابر ppm ۱۶۰۰ دارد در حالیکه این مقدار در سنگ‌های بازیک حدود ppm ۱۷۰ و در گرانیت ppm ۱۰ می‌باشد. با توجه به این اگر نمونه‌های رسوباتی که از این سنگ‌ها نشأت گرفته است، در یک جامعه بررسی شود، تمامی نمونه‌ها با سنگ بالادست اولترابازیک، آنومالی محسوب می‌شوند، که این نتیجه‌گیری نادرستی است؛ پس برای حذف این عامل در بررسی ژئوشیمیایی رسوبات آبراهه‌ای، نمونه‌ها با توجه به سنگ بالادست آنها در جوامع گوناگونی تقسیم‌بندی شده و پارامترهای آماری آنها در جوامع مربوط به آنها بررسی می‌شود [۱-۳]. برای جدایش جوامع سنگی نمونه‌ها بایستی ابتدا محل آنها را بر روی نقشه زمین‌شناسی مشخص کرد؛ سپس برای هر نمونه، کلیه واحدهای سنگی را که در حوضه آبریز آن واقع می‌شوند تعیین کرد، واحدهای سنگی مربوط به یک نمونه می‌تواند شامل یک یا چند نوع سنگ باشد. برای حذف اثر سنگ بالادست چند راه پیشنهاد شده است: ۱) استفاده از جداول جهانی مقدار زمینه عناصر در سنگ‌های مختلف، ۲) تعیین مقدار زمینه در سنگ‌ها با توجه به نمونه‌های آبراهه‌ای،

۳) روش‌های خوشبندی و خوشبندی فازی [۲]. با استفاده از روش‌های خوشبندی، نمونه‌ها را به گروه‌های مختلفی تقسیم، و بر اساس آن، اثر سنگ بالادست حذف می‌شود. روش‌های خوشبندی سخت، برای جدایش جوامع چند سنگی کارایی چنانی ندارند، چرا که با تخصیص هر نمونه به یک خوشه عملاً امکان نسبت دادن یک نمونه به چند نوع سنگ سلب می‌شود، مگر آنکه برای ترکیب سنگ‌ها نیز خوشه‌هایی تعریف کنیم و یا اینکه با خطای زیادی این نمونه‌ها را به یک خوشه نسبت دهیم. در صورتی که خوشبندی فازی بخوبی این ضعف را برطرف می‌سازد و امکان تخصیص یک نمونه را به چند خوشه فراهم می‌سازد.

۲- زمین‌شناسی منطقه مورد مطالعه

ناحیه بررسی شده به دلیل شرایط خاص زمین‌شناسی و

جدول (۱): مشخصات آماری داده‌های خام

| ELEMENT | Cu | Pb | Zn | Ag | Fe | As | Sb | Ag* |
|---------|-----------|-----------|-----------|-----------|-----------|----------|-----------|----------|
| number | ۱۱۲ | ۱۱۲ | ۱۱۲ | ۱۱۲ | ۱۱۲ | ۱۱۲ | ۱۱۲ | ۱۱۲ |
| average | ۲۰/۲۱۸۷۰ | ۸۰/۲۱۴۲۹ | ۱۱۰/۰۲۲۲ | -۰/۲۷۸۱۹۶ | ۲/۰۷۹۹۱۱ | ۲۲۰/۷۱۸۸ | ۴۴/۹۲۷۷۲۲ | ۱۶/۸۹۰۵۴ |
| median | ۱۹ | ۲۵ | ۷۷ | -۰/۲ | ۲/۴۰۰ | ۱۱۷ | ۷/۲ | ۳/۷۰ |
| var | ۱۰۸/۳۰۰۵۲ | ۸۰-۴۱۵/۴ | ۱۶۶۳۱/۵۷ | -۰/۰۳۲۱۳۴ | ۲/۰۸۱/۹۹۹ | ۰۴۴۱۹۰/۲ | ۱۷۶۴۵/۲۹ | ۲۱۶۱/۴۰۰ |
| min | ۲ | ۰ | ۹ | -۰/۱۲۳ | ۰/۷۸ | ۶ | -۰/۲۷۵ | -۰/۲ |
| max | ۶۸ | ۲۸۹۲ | ۸۶۸ | ۱/۱ | ۱۷/۱۸ | ۰۱۳۴ | ۸۹۱ | ۳۶۲/۴ |
| skew | ۱/۴۸-۲۲۲ | ۸/۹۹۰۴۵۶ | ۲/۶۴-۰۳۶ | ۱/۶۲۷۷۹۲ | ۷/۸۰۸۷۸۸ | ۴/۳۶۲-۷۱ | ۴/۷۹۰۱۷۵ | ۰/۲۸۶۴۵۸ |
| kurt | ۳/۷۰۰۱۷۲ | ۸۸/۲۰۷-۰۸ | ۱۶/-۰۲۴۷۷ | ۴/-۰۹۱۸۷ | ۶۱/۹۴۲۶ | ۲۱/۸۸۸۱۹ | ۲۴/۱۹-۰۵۸ | ۳۲/۸۹۱۷۴ |

جدول (۲): مشخصات آماری داده‌های نرمال شده

| ELEMENT | Cu | Pb | Zn | Ag | Fe | As | Sb | Ag* |
|---------|------|---------|---------|-------|-----|----------|--------|--------|
| number | ۱۱۲ | ۱۱۲ | ۱۱۲ | ۱۱۲ | ۱۱۲ | ۱۱۲ | ۱۱۲ | ۱۱۲ |
| average | ۴/۷۲ | ۲/۰-۴۷۴ | ۲/۱۰۸ | -۰/۲۸ | ۰/۸ | ۲/۵۶۲۱ | ۱/۷۷۲ | ۱/۱۹۸ |
| median | ۴/۶۵ | ۲/۰-۹۴ | ۲/۱۱۸۵ | -۰/۲۹ | ۰/۹ | ۲/۱۲۷۵ | ۱/۷۷ | ۱/۱۰۴ |
| var | ۱/۲۴ | -۰/۱۱۱۶ | -۰/۱۷۵۸ | ۲/۴۹ | ۰/۱ | -۰/۵۰۸۴ | ۱/۰۵۶ | -۰/۹ |
| min | ۱/۲۹ | ۱/۲۵۷۸ | ۱/۸۷۱۸ | -۰/۴۵ | ۰ | ۱/۶۱۲۲ | -۰/۱۰۷ | -۰/۱۲۷ |
| max | ۸/۲۷ | ۲/۸۸۱۱ | ۴/۲۰۰۰ | ۰/۰۹ | ۰/۴ | ۰/۲۴۴۱ | ۰/۰۲۹ | ۰/۲۸۱ |
| skew | ۰ | -۰/۰۲۱ | -۰/۰۲۴ | ۰ | ۰ | -۰/۰۲ | -۰/۰۲۱ | -۰/۰۱۲ |
| kurt | ۱/۰۸ | -۰/۰۲۴ | -۰/۰۱۲۷ | -۰/۱۷ | ۲/۸ | -۰/۰۲۶۴۷ | -۰/۰۱۴ | -۰/۰۱۵ |

کاکس و باکس داده‌ها نرمال شدند. برای این منظور، ماکرو ویژوال بیسکی در نرم افزار اکسل نوشته شد که با استفاده از این نرم افزار ضریب بهینه اهمیت چوکی نسبت به کشیدگی ۲/۲ محاسبه شد. جداول شماره (۱) و (۲) خصوصیات آماری داده‌های اولیه و داده‌های نرمال شده داده نشان داده شده است.

۴- معرفی روش خوشبندی فازی C-means (FCMC)

روش خوشبندی C-means بیانعطف مبتنی بر فرآیند تکرار است و هدف آن به حداقل رساندن بزرگترین فاصله یک نمونه(متغیر) تا مرکز خوشبندی است. در این روش در نهایت هر نمونه یا متغیر به یک خوشبندی تعلق می‌گیرد [۴].

فرض کنید n نمونه داشته باشیم که برای هر یک m متغیر اندازه‌گیری شده باشد. می‌خواهیم این نمونه‌ها را به C کلاستر با مرکز معلوم تخصیص دهیم. برای این کار از الگوریتم تحلیل خوشبندی فازی C-means به صورت زیر استفاده می‌شود:

- (۱) تعیین درجه عضویت هر نمونه به هر خوشبندی به طور تصادفی.

(۲) محاسبه مختصات مرکز خوشبندی با استفاده از درجه عضویت و مختصات مراکز خوشبندی و با استفاده از رابطه زیر:

در راستای گسل بزرگ قیصرج، نهشت‌های گستردگی از تراورتن دیده می‌شود که حاصل فعالیت چشم‌های آهک ساز در زمان کواترنری هستند.

منطقه مورد بررسی از نظر ساختمانی در زون خوبی-مهاباد قرار گرفته و جایگیری سنگ‌های دگرگونی پرکامبرین در زیر رسوبات و سنگ‌های آتش‌شانی الیگومیوسن نشان از وجود یک برجستگی کهن از زمان پرکامبرین تا الیگوسن و نبود رسوبگذاری یا فرسایش شدید در فاصله زمانی یاد شده در منطقه است [۴][۵].

۳- پردازش اولیه داده‌های منطقه شمال تکاب

منطقه مورد مطالعه با وسعتی در حدود ۴۰۰ کیلومتر مربع در ۱۸ کیلومتری شمال شهرستان تکاب واقع شده است و از نظر زمین‌شناسی، بخش شرقی منطقه بخشی از برگه ۱:۱۰۰،۰۰۰ تخت سلیمان و قسمت غربی منطقه بخشی از چهارگوش ۱:۱۰۰،۰۰۰ شاهیندژ است. ۱۱۲ نمونه رسوبات آبراهه‌ای در عملیات صحرایی برداشت و پس از طی مراحل آماده سازی در آزمایشگاه ACME کشور کانادا برای عنصر به روش ICP آنالیز شدند [۳]. به منظور استفاده از داده‌های خام (داده‌های حاصل از آنالیز نمونه‌های منطقه) در اولین گام با استفاده از روش بیشترین درستنمایی کو亨 داده‌های سنسور دجایگزین شد؛ سپس با استفاده از روش

$$F = \sum_{i=1}^c \sum_{k=1}^n \frac{\mu_{ik}^2}{n} \quad (6)$$

از این دو پارامتر در تعیین تعداد بهینه خوش‌ها استفاده می‌شود به این گونه که تعداد خوش بهینه را حالتی در نظر می‌گیریم که F نزدیک به یک و H به صفر نزدیک باشد.
[۱][۲][۳].

۵- تهیه نرم افزار خوش‌بندی فازی و اعتبار سنجی نرم افزار

با استفاده از قابلیت تهیه ماکرو در نرم افزار اکسل، نرم افزاری به زبان ویژوال بیسیک در فرم ماکرو اکسل نوشته شد که قادر به خوش‌بندی فازی داده‌ها بر اساس الگوریتم فوق بود(نمودار۱). به منظور اعتبار سنجی نرم افزار از مثال ارائه شده در کتب مرجع استفاده شد و نتایج به دست آمده از نرم افزار با نتایج ارائه شده در منبع مذکور مقایسه گردید. که نتایج اعتبار نرم افزار تهیه شده را به اثبات رساند(جدول ۳).

۶- خوش‌بندی داده‌های منطقه‌شمال تکاب با استفاده روش خوش‌فازی C-means

با استفاده از برنامه تهیه شده، آنتروپی افزار(H) و ضریب جداسازی(F) برای تعداد خوش‌های مختلف ($n=1\text{ تا }12$) با ضریب فازی شدگی ۲ تعداد خوش بهینه محاسبه شد که نتیجه آن در نمودار (۱) و همچنین جدول (۴) نشان داده شده است. همان‌طور که در نمودار (۱) مشاهده می‌شود حداقل مطلق ضریب افزار و حداقل مطلق آنتروپی افزار در $n=2$ حاصل شده است؛ اما حداقل نسبی ضریب افزار و حداقل نسبی آنتروپی در $n=5$ حاصل شده است و از آنجا که تعداد خوش ۵ با طبیعت سنگ شناسی منطقه تطابق بیشتری دارد، بنابراین تعداد خوش‌ها را برابر ۵ در نظر می‌گیریم.

در مرحله بعد، نوبت به تعیین درجه فازی شدگی یا شولایی مناسب می‌رسد که برای این منظور، پراش تخصیص برای درجات فازی شدگی مختلف بین $1/1$ تا 3 برای تعداد خوش‌های مختلف محاسبه شد که کوچکترین مقدار پراش تخصیص برای ضریب فازی شدگی $1/3$ به دست آمد.

مساله‌ای که اینجا پیش می‌آید این است که تعداد بهینه خوش‌ها با ضریب فازی شدگی ۲ محاسبه شده است، حال آنکه ضریب بهینه $1/3$ است. در پاسخ به این ابهام بار دیگر تعداد بهینه خوش‌ها با ضریب فازی شدگی $1/3$ محاسبه شد که هیچگونه تغییری در تعداد بهینه خوش‌ها مشاهده نشد.

$$C_{ij} = \frac{\sum_{k=1}^n (\mu_{ki})^q X_{kj}}{\sum_{k=1}^n (\mu_{ki})^q} \quad (1)$$

در این رابطه C_{ij} مقدار متغیر Z از مرکز خوش i ام، μ_{ki} درجه عضویت نمونه k ام به خوش i ام و X_{kj} مقدار متغیر Z در نمونه k ام است. q معرف شدت شولایی یا فازی شدن متغیر Z ام در نمونه k ام است. اگر این مقدار برابر واحد باشد فازی شدگی در حدائق ممکن خود است (حالت غیر فازی) و اگر مقدار q به سمت میل کند همه مرکز خوش‌ها به مرکز کل داده‌ها همگرا می‌شود و درجه عضویت همه نمونه‌ها به مرکز خوش‌ها برابر $\frac{1}{C}$ شود.

(۲) پس از محاسبه مرکز جدید خوش‌ها لازم است درجه عضویت هر نمونه به همه مرکز خوش جدید بر مبنای فاصله اقلیدسی از رابطه (۲) محاسبه شود:

$$\mu_{ik} = \frac{(d_{ik}^2)^{\frac{-1}{q-1}}}{\sum_{k=1}^c (d_{ik}^2)^{\frac{-1}{q-1}}} \quad (2)$$

که در این رابطه μ_{ik} درجه عضویت نمونه k ام به خوش i ام و d_{ik} فاصله نمونه k ام تا مرکز خوش i ام است که به طریق زیر محاسبه می‌شود:

$$(d_{ik})^2 = \sum_{j=1}^m \left[\frac{(X_{kj} - C_{ij})}{S_j} \right]^2 \quad (3)$$

در این رابطه X_{kj} مقدار متغیر Z در نمونه k ام و C_{ij} مقدار متغیر Z از خوش i ام و S_j انحراف معیار متغیر Z است.

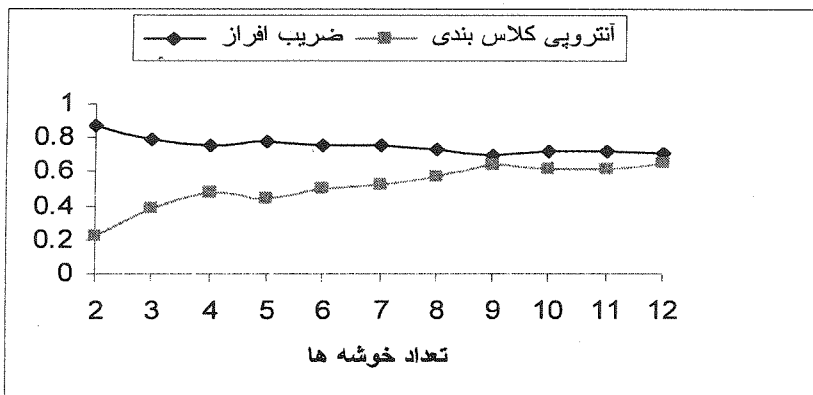
(۴) محاسبه تابع هدف: تابع هدف متغیر Z در محیطی که به درجه q فازی شدگی دارد به صورت رابطه (۴) تعریف می‌شود.

$$J_q = \sum_{i=1}^c \sum_{k=1}^n (\mu_{ik})^q (d_{ik}^2)^q \quad (4)$$

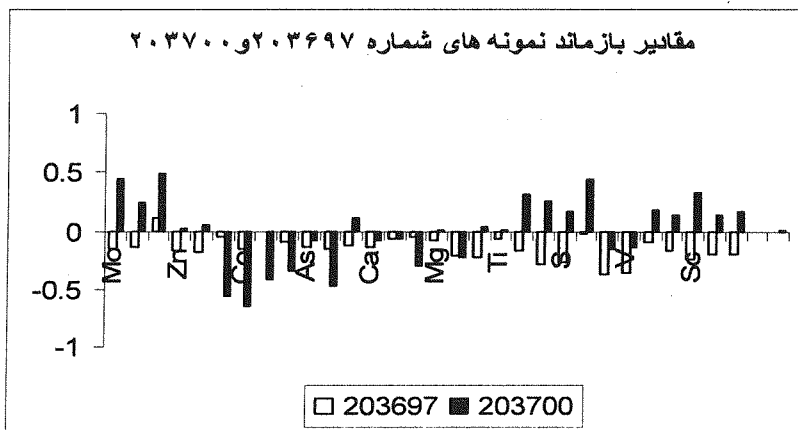
در این رابطه مقادیر μ_{ik} و d_{ik}^2 از روابط قبلی محاسبه می‌شود.

(۵) تکرار محاسبات از مرحله دوم تا چهارم تا جایی که اختلاف بین دو مرحله متوازن محاسبه J_q کمتر از دقت مورد نظر شود. تعداد بهینه خوش‌ها با محاسبه پارامترهای آنتروپی کلاس‌بندی (H) و ضریب جداسازی(F) به صورت زیر تعیین می‌شوند.

$$H = - \sum_{i=1}^c \sum_{k=1}^n \frac{\mu_{ik} \log(\mu_{ik})}{n} \quad (5)$$



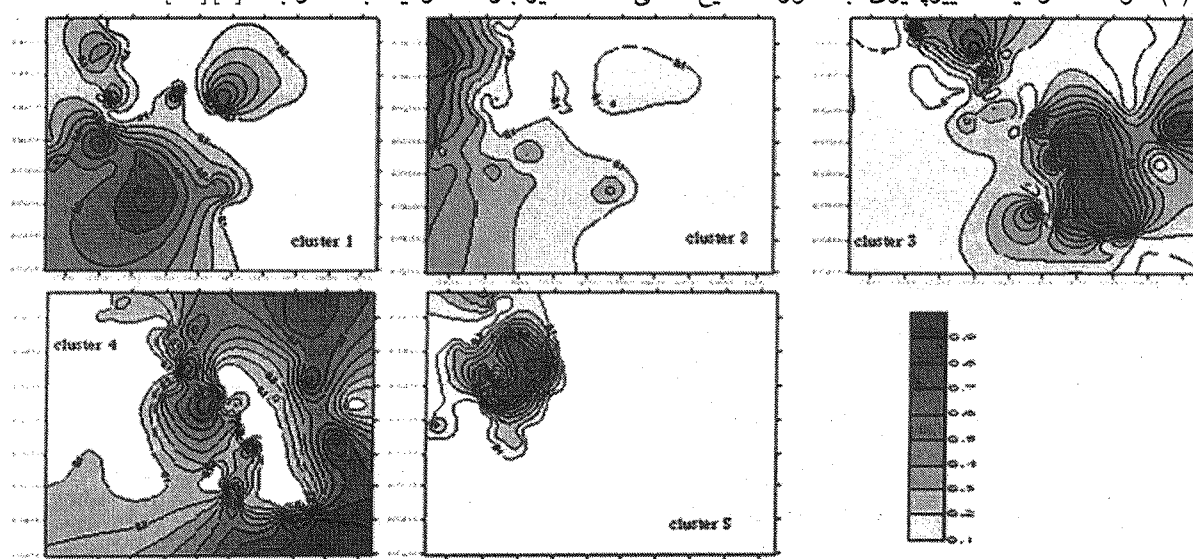
نمودار(۱): نمودار ضریب افزار و آنتروپی در برابر تعداد خوشه ها



نمودار(۲): توزیع مقادیر بازماند دو نمونه انتخابی از سری داده های منطقه تکاب

شده باشد (۳) مولفه اپی ژنتیک تغییر پذیری مرتبط با کانی سازی احتمالی نیز؛ که در جستجوی آن هستیم، وجود نداشته باشد (۴) انتخاب تعداد خوشه ها و سایر پارامترهای تحلیل فازی درست صورت گرفته باشد، در این صورت باید میانگین مقادیر بازماند نزدیک به صفر باشد [۱۰].

در جدول (۴) ترکیب شیمیایی مرکز خوشه ها؛ که به روش تحلیل خوشه فازی محاسبه شده است، نشان داده شده است. اگر همه عملیات اکتشافی و محاسباتی درست انجام شده باشد به طوری که (۱) عوامل آلودگی یا خطای آنالیز وجود نداشته باشد (۲) مولفه سیزنتیک تغییرپذیری به طور صحیح ختنی



شکل (۳) نقشه های کنتوری درجه عضویت نمونه ها در هر خوشه

جدول (۳) ترکیب شیمیایی مرکز خوشه‌ها محاسبه شده به روش تحلیل خوشه فازی

| ELEMENT | Cu(ppm) | Pb(ppm) | Zn(ppm) | Ag(ppm) | Fe(%) | As(ppm) | Sb(ppm) | Au*(ppb) |
|---------|----------|----------|----------|----------|----------|----------|----------|----------|
| خوشه ۱ | ۲۳/۱۳۰۳۸ | ۲۱/۱۹۸۸ | ۷۴/۵۱۷۸۱ | ۰/۱۴۲۹۱۵ | ۲/۳۸۵۲۲۲ | ۱۳۹/۸۲۷۱ | ۵/۶۳۱۳۸ | ۲/۹۹۸۲۷۳ |
| خوشه ۲ | ۲۶/۹۱۷۳۳ | ۱۱۲/۹۳۲۷ | ۱۸۴/۷۲۱۴ | ۰/۳۸۸۲۵۹ | ۳/۱۷۵۸۹۵ | ۲۷۸/۹۸۸ | ۴۶/۴۷۰۶۸ | ۱۳/۶۹۵۶۵ |
| خوشه ۳ | ۱۳/۵۶۶۰۵ | ۱۱/۷۳۹۷۴ | ۲۸/۵۴۹۳۲ | ۰/۱۲۸۸۲۳ | ۱/۱۷۹۳۷۹ | ۸۵/۸۰۳۲۳ | ۴/۳۰۸۲۲۷ | ۲/۶۴۶۲۷۷ |
| خوشه ۴ | ۱۷/۹۵۵۹۴ | ۲۳/۳۹۸۲۲ | ۵۷/۶۵۸ | ۰/۲۴۵۵۴۱ | ۲/۴۴۷۴۶۴ | ۳۲/۵۸۲۲۸ | ۲/۳۸۹۵۶۵ | ۱/۷۶۴۸۰۶ |
| خوشه ۵ | ۷/۷۷۶۷۰۴ | ۳۰/۶۸۴۶۳ | ۵۲/۷۶۰۲۳ | ۰/۱۶۰۴۸ | ۲/۱۴۳۲۸۲ | ۱۲۹/۷۲۰۳ | ۲/۰۵۲۱۴۸ | ۱۲/۹۱۰۷۱ |

۷- مقایسه نتایج آمار کلاسیک با خوشبندی فازی C-means

به منظور مقایسه نتایج حاصل از دو روش آنومالی‌های بازنده با هم مقایسه شد (جدول (۳)(۴)):

(۱) آنومالی طلا: در نتایج حاصل از خوشبندی فازی تنها در سه نمونه آنومالی احتمالی تشخیص داده شده است حال آنکه این نمونه‌ها در نتایج حاصل از روش جداسازی جوامع سنگی آنومالی ممکن تشخیص داده شده اند. نکته دیگر اینکه سایر آنومالی‌های حاصل از روش جداسازی جوامع سنگی در نتایج حاصل از روش خوشبندی فازی آنومالی تشخیص داده نشده که این می‌تواند ناشی از اثرات ناحیه‌ای (به غیر از لیتلولژی) باشد.

(۲) آنومالی آرسنیک: آرسنیک یکی از عناصری است که از نظر خصوصیات ژئوشیمیایی توانایی ردیابی طلا در رسوبات آبراهه‌ای را دارد و یکی از عناصری است که در اکتشافات طلا توجه خاصی به آن می‌شود؛ به همین دلیل در این مقایسه، به این عناصر توجه خاصی شد و مشاهده گردید که روش خوشبندی فازی آنومالی جدیدی تشخیص نداده است و تنها آنومالی‌های حاصل از روش جداسازی جوامع سنگی را تشدید کرده است.

(۳) آنومالی آنتیموان: یکی از خصیصت‌های ژئوشیمیایی طلا و آنتیموان این است که این دو عنصر با یکدیگر سازگار بوده و آنومالی‌های طلا و آنتیموان علی الخصوص در ذخائر ابی‌ترمال همپوشانی دارند. در نتایج حاصل از روش خوشبندی فازی تنها در سه نمونه آنومالی طلا، آنومالی آنتیموان نیز تشخیص داده شده است و سایر آنومالی‌های آنتیموان تشخیص داده شده در نتایج روش جوامع سنگی محو شده‌اند.

(۴) آنومالی سرب و روی: در نتایج حاصل از روش خوشبندی فازی علاوه بر اینکه تمامی آنومالی‌های روش جداسازی جوامع سنگی تشدید شده‌اند، یکسری آنومالی جدید نیز تشخیص داده شده‌اند که می‌تواند برای کاوش بیشتر منطقه

در نمودار (۲) توزیع مقادیر بازنده برای دو نمونه انتخاب شده از مجموعه نمونه‌های منطقه آفرینه تکاب نشان داده شده است.

البته ذکر این نکته لازم است که نزدیکی میانگین مقادیر بازنده به صفر برای تمام نمونه‌ها به این وضوح نبود که می‌توان آن را نتیجه یکی از چهار دلیل شرح داده شده دانست؛ ولی تقریباً میانگین مقادیر اکثر آنها بین یک و منفی یک قرار دارد که می‌تواند نتیجه مطلوبی تلقی شود.

پس از محاسبه مقادیر بازنده و مقادیر درجه عضویت می‌توان دو نوع نقشه رسم کرد:

۱- نقشه تغییرات درجه عضویت: در این نقشه، درجه عضویت نمونه‌های مختلف به یک خوشبندی نسبت: که معمولاً از نوع کنتوری است رسم می‌شود. در این نقشه‌ها می‌توان محدوده‌هایی را که بیشتر متاثر از یک خوشبندی است را مشاهده کرد. اگر این خوشبندی در اثر ناهمگنی محیط نمونه‌برداری؛ که خود ناشی از اثر لیتلولژی و ختنی نشدن مؤلفه سنتزتیک است، از یکدیگر جدا شده باشند می‌توانند مرز محیط‌های مختلف از نظر ژئوشیمیایی را نشان دهند. که این نقشه‌ها در شکل (۳) نشان داده شده است. ذکر این نکته لازم است که به جای نقشه کنتوری، می‌توان نقشه‌هایی با سایر روشها همچون تخمین شبکه‌ای تهیه نمود.

۲- نقشه مقادیر بازنده: با توجه به اینکه در این نقشه‌ها اثر مؤلفه سنتزتیک ختنی شده است می‌توانند شفافتر موقعیت مؤلفه‌های ابی‌ژنتیک کانی‌سازی را که همان موقعیت آنومالی واقعی در منطقه است را به نمایش بگذارند.

به منظور تعیین آنومالی‌های موجود در منطقه بر اساس مقادیر بازنده عناصر از روش $2\bar{x} + \bar{z}$ استفاده شده است [۱۱، ۱۲]. برای این منظور نیز برنامه‌ای نوشته شد تا مقادیر بازنده عناصر مختلف را نرم‌مال و سپس انواع آنومالی‌ها را برای عناصر مختلف در تمامی نمونه‌ها مشخص کند [۹].

استفاده شود.

[۵] آنومالی آهن: در نتایج حاصل از روش خوش بندی فازی علاوه بر تشدید تک آنومالی تشخیص داده شده در روش جداسازی جوامع سنگی، سه آنومالی جدید مرتبط با هم در بخش شمالی منطقه تشخیص داده شده است که برای ادامه مطالعات و بررسی بیشتر پیشنهاد شده است.

۸- نتیجه گیری و پیشنهاد

روش خوش بندی فازی کمتر تحت تأثیر استنباطهای شخصی بوده و بسیار سریع‌تر از روش جدایش سنگ بالادست صورت می‌گیرد و در ضمن آنومالی‌های جدیدی را نشان می‌دهد که در روش جداسازی سنگ بالادست نشان داده نشده است. بنابراین پیشنهاد می‌شود تا در پروژه‌های ژئوشیمی رسوبات آبراهه‌ای؛ به مانند این پروژه، علاوه بر استفاده از روش جدایش سنگ بالادست از روش خوش بندی فازی نیز استفاده شود و در مرحله چک کردن آنومالی‌ها هر دو دسته آنومالی‌ها مورد مطالعه قرار گیرد. این امر موجب استفاده بیشتر و بهتر از داده‌های ژئوشیمی رسوبات آبراهه‌ای می‌گردد.

۹- منابع :

- [۱] حسنی‌پاک، علی‌اصغر- شرف‌الدین‌محمد؛ تحلیل داده‌های اکتشافی، / موسسه انتشارات و چاپ دانشگاه تهران، (۱۳۸۰)
- [۲] کاویانی، دانیال؛ اکتشافات ژئوشیمیایی در محدوده ۱:۵۰۰۰۰ چاه‌گل، پایان‌نامه کارشناسی ارشد دانشگاه صنعتی امیرکبیر، (۱۳۷۹)
- [۳] میرمرتضوی، امیراحسان؛ اکتشافات نیمه تفصیلی ژئوشیمیایی در منطقه شمال تکاب، پایان‌نامه کارشناسی ارشد دانشگاه صنعتی امیرکبیر
- [۴] سازمان زمین‌شناسی کشور، "نقشه زمین‌شناسی تخت سلیمان"، مقیاس ۱:۱۰۰۰۰، (۱۳۷۴)
- [۵] سازمان زمین‌شناسی کشور، "نقشه زمین‌شناسی شاهین ده، مقیاس ۱:۱۰۰۰۰، (۱۳۷۲)، (۱۳۷۸)
- [۶] وانگ، لی؛ "سیتمهای فازی و کنترل فازی"، دانشگاه خواجه نصیرالدین طوسی، (۱۳۷۸)
- [۷] Bouchang Y., Xiang X., "Fuzzy cluster Analysis in geochemical exploration", Journal of Geochemical exploration, vol.23,p. 28-29 1985
- [۸] Rantitsch, G, "Application of fuzzy clusters to quantify lithological background concentrations in stream-sediment geochemistry", Applied Geochemistry, vol. 7, p.p. 73-82, 2000
- [۹] سلطانی محمدی، سعید؛ "مقایسه نتایج حاصل از روش حذف اثر سنگ بالا دست با منطق فازی در مورد داده‌های اکتشافی منطقه شمال تکاب"، پایان‌نامه کارشناسی، دانشگاه صنعتی امیرکبیر، (۱۳۸۲)
- [۱۰] Singh, M., Ansari, A., Muller, G. Singh, I.B., "Heavy metals in freshly deposited sediments of the Gomati River" Environmental Geology, 1997
- [۱۱] Selinus, O.S., Esbensen, K., "Separating anthropogenic from natural anomalies in environmental geochemistry", Journal of Geochemical Exploration, Vol. 55, p.p. 55-66 1995
- [۱۲] Karmer, U., "Application of limited fuzzy cluster to anomaly reorganization in complex geological environments", Geochemical Exploration, Vol. 55, p.p. 8-92 1995

جدول ۳- نمونه های آنومالی به دست آمده و نوع آنومالی آنها از روش خوش بندی فازی

| ELEMENT | Mo | Cu | Pb | Zn | Ag | Mn | Fe | As | Cd | Sb | Ba | Th | Au* |
|---------|------|------|------|------|------|-----|------|------|------|------|------|------|-----|
| 203551 | | | PR.A | PR.A | | | | | | | | | |
| 203552 | C.A | | C.A | C.A | | | | | | | | | |
| 203553 | | C.A | | | | | PR.A | | | | | | |
| 203554 | | | | | | | C.A | | | | | | |
| 203555 | | | PR.A | | | | C.A | | | | | | |
| 203556 | PR.A | | | | | | | | | | PR.A | | |
| 203557 | | | | | | | | | | | PR.A | | |
| 203558 | PR.A | | | | | | | | | | PR.A | | |
| 203559 | C.A | | | | | | | | | | PR.A | | |
| 203573 | | PR.A | | | | | | | | | | | |
| 203587 | | PR.A | | | | | | | | | | | |
| 203590 | | | | | | | PR.A | | | | | | |
| 203593 | | | | | | | PR.A | | PR.A | | | PR.A | |
| 203594 | | | | | | | | | | | | | |
| 203596 | | | | | | | PR.A | | PR.A | PR.A | | PR.A | |
| 203609 | | | PR.A | | | C.A | | | | | | | |
| 203610 | | | PR.A | | | | | | | | | | |
| 203506 | PR.A | | | | | | | | | | | | |
| 203697 | | PR.A | PR.A | PR.A | PR.A | C.A | PR.A | | PR.A | PR.A | | PR.A | |
| 203698 | | | | | | | | | | | C.A | | |
| 203700 | PR.A | | | | | | | | | | | | |
| 203617 | PR.A | | | | | | | | | | | | |
| 203633 | | | | | | | PR.A | PR.A | | | | | |
| 203640 | | | | | | C.A | PR.A | | | PR.A | | | |
| AD42 | | | | PR.A | | | | | | | | | |

جدول ۴- نمونه های آنومالی به دست آمده و نوع آنومالی آنها از روش جداسازی جوامع سنگی

| ELEMENT | Mo | Cu | Pb | Zn | Ag | Mn | Fe | As | Cd | Sb | Ba | Th | Au* |
|---------|-----|-----|-----|------|-----|-----|-------|-----|------|------|-------|-------|-----|
| 203506 | P.A | | | | | | | | | | | | |
| 203552 | | | P.A | P.A | | | | | | | | | |
| 203553 | | P.A | | | | | | | | | P.A | | |
| 203556 | | | | | | | | | | | P.A | | |
| 203557 | | | | | | | | | | | P.A | | |
| 203558 | | | | | | | | | | | P.A | | |
| 203559 | | | | | | | | | | | P.A | | |
| 203561 | | | | | | | | | | | P.A | | |
| 203565 | | | | | | | | | | | | P.R.A | |
| 203573 | | P.A | | | P.A | | | | | | | | |
| 203587 | | P.A | | | | P.A | | | | | P.A | P.A | |
| 203590 | | | | | | | P.A | | | | P.A | | |
| 203592 | | | | | | | | | | | P.A | | P.A |
| 203593 | | | P.A | | | | P.A | | | P.A | P.A | P.A | P.A |
| 203596 | | | P.A | | | | P.A | P.A | P.A | P.A | P.R.A | | P.A |
| 203609 | | | | PR.A | | | P.R.A | P.A | | P.A | | | |
| 203610 | | | | P.A | | | | | P.A | | | | P.A |
| 203611 | | | | | P.A | | | | | | | | |
| 203617 | P.A | | | | | | | | | P.A | | P.A | |
| 203628 | | | | | | | | | | P.A | | P.A | |
| 203630 | | | | | | | | | | P.A | | | |
| 203633 | | | | | | C.A | | P.A | P.A | | P.A | | |
| 203640 | | | | | | | C.A | P.A | P.A | P.A | P.R.A | P.R.A | P.A |
| 203697 | P.A | P.A | C.A | PR.A | P.A | C.A | PR.A | P.A | PR.A | PR.A | P.R.A | P.R.A | P.A |
| 203698 | | P.A | | | | | | | | | C.A | | |
| 2036700 | P.A | | | | | | | | | | | | |

P.A: Possible Anomaly

PR.A: Probable Anomaly

C.A: Confirmed Anomaly